

大阪大学工学部 正員 松井繁之
大阪大学工学部 正員 前田幸雄
(株)神戸製鋼所 正員 櫛田賢一

1. まえがき 近年の鉄筋コンクリート床版のひび割れ損傷問題を契機として、RC床版に代わる新規床版、あるいは、損傷を受けたRC床版の打ち換え床版として、準プレハブ床版の小型工形鋼を用いたコンクリート充填鋼格子床版が多用されるようになつた。本床版は、準プレハブであること、型枠不要のため省力化ができること、剛性が大きい工形鋼のため放厚を薄くできること、等の特徴を有している。本床版は直角二方向の剛性が異なる直交異方性板であり、筆者らはこの直交異方性を考慮した設計曲げモーメント式を提案した¹⁾。一方、工形鋼の内エフには配力鉄筋配置用の特殊な形状のパンチ孔が開けられ、かつ、骨組剛性を確保するため配力鉄筋が孔隅角部でスロット溶接される。このため、このパンチ孔隅角部から疲労亀裂が発生するこれが配力区、この部位の疲労強度を考慮に入れた疲労設計法を確立する必要がある。そのために一連の研究のうち、工形鋼単体の疲労特性、疲労強度についてはすでに報告した²⁾。本報告はコンクリートに埋込まれた工形鋼の疲労実験と実物大床版供試体の実験結果を示し、コンクリート中の工形鋼の応力発現特性と疲労強度について述べる。

2. コンクリート埋込み工形鋼梁の疲労実験と応力発現特性 供試体を図1に示す。パンチ孔が下側一段配列のS-type(4体)と上下2段配列のW-type(3体)の計7体である。これら供試体には予偏実験で必要性を認めたコンクリートのひびわれを図1に示す位置でプラスケッフ板(厚さ1mm)でシミュレートした。最大荷重は表1に示す5.2t~7.3tで、最小荷重は0.4tの一一定値とした。疲労破壊はコンクリート埋込み梁でも載荷点に近いセン断パネルのパンチ孔の断面A(図2)で発生した。各供試体の疲労データは表1の通りである。



図1 コンクリート埋込み梁供試体

やはり、破壊始点の点aには崩孔によるセン断力の二次曲げ応力からじに形状による応力集中が相乗する。セン断力による二次曲げが発生していくことは図3,4の下フランジのひずみ分布が明らかである。

図3,4は下フランジの歪について、コンクリートと合成した工形鋼の有限要素法の結果、簡易計算による曲げひずみ、実験結果を併記したものである。プラスケッフ板によるひびわれ挿入によって実験値はFEMの値に近づいた(図4の★印は強制ひびわれが入っていない予偏実験値)。しかし、コンクリートと工形鋼の界面で接着がまだ残っているためFEMの値とまだ若干の差が残っている。コンクリート埋込み梁の合成効果は配力鉄筋がずれ止めとして働くことによって現われる。また、パンチ孔直下の3点のひずみ分布傾向について考察を加える。図5

供試体	最大荷重	最終繰返数
S No. 1	6.0 t	74万回
S No. 2	5.0 "	200 "
S No. 3	6.5 "	38 "
S No. 4	5.6 "	135 "
W No. 1	7.7 "	13.8 "
W No. 2	6.0 "	23.5 "
W No. 3	5.0 "	67.8 "

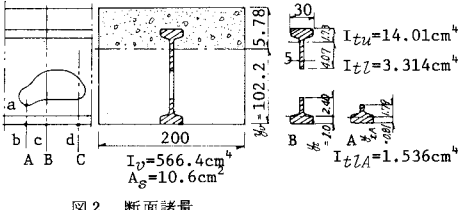


図2 断面諸量

P=1000 kg

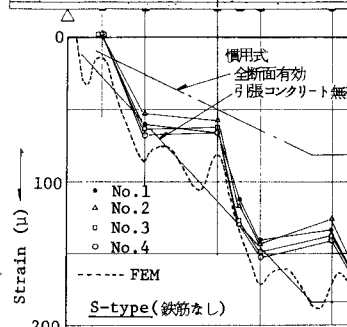


図3 下フランジのひずみ分布(S-type)

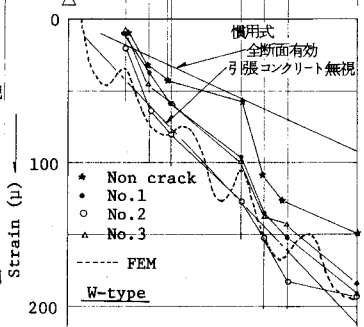
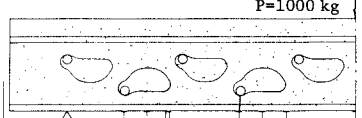


図4 下フランジのひずみ分布(W-type)

FEMの結果と相対的に比較するため実験値を相対移動させてその上で、S, W-typeともより一致を示している。この図から、コンクリート埋込み工形鋼の応力発現は、引張側コンクリートを無視した合成断面を基本とし、パンチ孔部の二次曲げの影響を負うるものであると説明できる。この現象に着目して埋込み工形鋼の応力について定式化した。すなまち、図2の断面諸量を用いて次式の基本式を導出した。

$$\sigma_x = d \frac{M}{I_T} y + p \frac{y_t}{I_T} \left(\frac{A_s}{\frac{I_T}{n} + A_s} + \frac{I_{el}}{I_{el} + I_{tu}} \right) Q \cdot C \quad (1)$$

ここで、①点bにおけるS, W-typeとも

$$d=1, p=-1, y_t=y_{TA}, I_T=I_{TA}$$

②点c～点dの間 S-type …… d=1, p=1

$$W-type …… d=1, p=0.4$$

ただし、M, Qは着目点の断面力、l₁は点cから着目点までzの距離。

そして、実験値の照査から $l_1 = 2.5 \text{ cm}$ である。

③点aの応力を式(1)の表現で表すことができる。この時、係数d, pが応力集中係数となり、この値は工形鋼単体の場合と同じにならざるである。すなまち、S-typeではd=2.1, p=1.52, W-typeではd=2.14, p=2.47である。これらの値を用いて各孔の点Aの計算応力値は表2のようになる。FEMの結果とよく対応を見せ、信頼できる係数である。この応力を用いてS-N実験をまとめると図6のように工形鋼単体の結果とよく対応を示す。よって、埋込み工形鋼の疲労は単体の結果で説明できる。

3. 実物大床版供試体の疲労強度 図7に示すIBG, IBRの各1体づつ疲労実験を行った。1体での数の疲労データを得るために載荷点を図のようにならべた。この載荷点間隔では互いの載荷点での載荷による応力履歴の影響は無視できるほど小さい。得られた疲労結果を表3に示す。ただし、図8に示したように工形鋼の発生ひずみはコンクリートのひじめられ発生程度に応じて理論値に比して小さく、この比率を表3に併記した。この理論値は取引曲線から導いたMとQの断面力を式(1)に入れて求めたものである。理論応力に表3の比率を掛け合わせた応力を版中の工形鋼のS-N実験をプロットすると図9の通りでやはり工形鋼単体の疲労結果とよく一致を示した。よって結論として、コンクリート充填鋼格子床版の工形鋼の疲労強度は工形鋼単体の疲労強度と式(1)で推定可能であると言える。

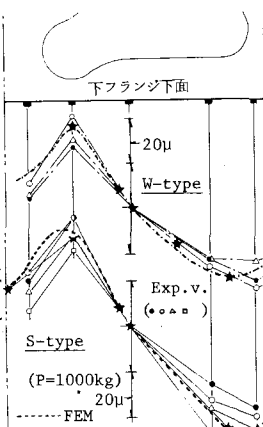


図5 パンチ孔部下フランジのひずみ分布詳細

表2 各孔の計算値 FEM

孔	計算値	FEM
S (1)	688%	693%
(2)	400%	354%
W (1)	615%	606%
(2)	333%	315%

注：上記応力は荷重1t

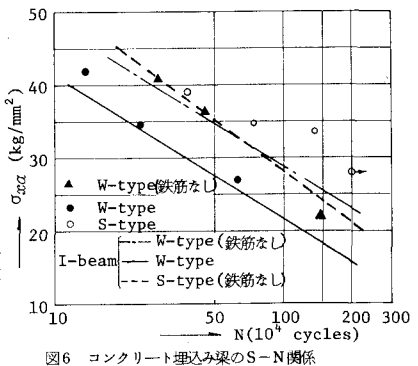


図6 コンクリート埋込み梁のS-N関係

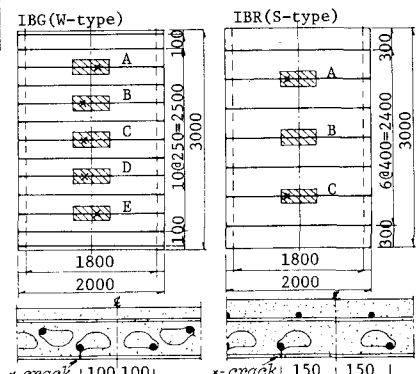


図7 床版供試体と載荷点

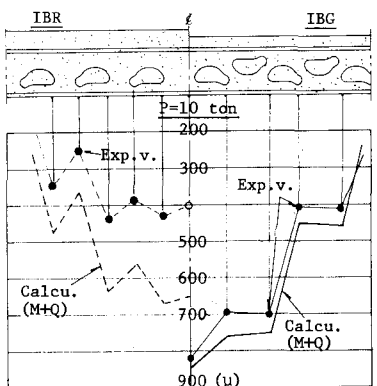


図8 I形鋼下フランジのひずみ分布

表3 床版供試体の荷重と破断繰返数

供試体載荷点	荷重	破断繰返数	実応力
IBG	A 2~19 t	24万回	88%
	B 2~19 "	125 "	95%
	C 2~20 "	76 "	95%
	D 2~22 "	20 "	104%
	E 2~18.5 "	106 "	83%
	A 2~20 "	68 "	86%
IBR	B 2~18 "	200以上	70%
	C 2~19 "	101 "	83%

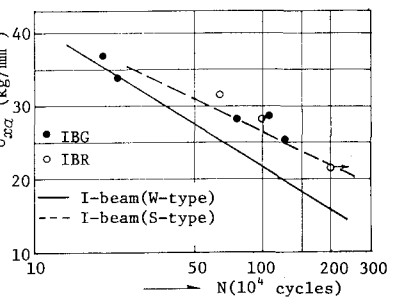


図9 床版供試体のS-N関係